

早稲田大学

正員

依田 照彦

早稲田大学

正員

平嶋 政治

早稲田大学

学生員

井浦 雅司

## 1. まえがき

本報告では、前回の年次講演会で報告済みの薄肉空間曲線部材の有限変位場に関する考察<sup>1)</sup>を発展させ、横断面形状が開断面部のみならず閉断面部を有する薄肉空間曲線部材の一次元有限変位理論を展開した。さらに、有限変位理論の妥当性を確かめるため、分歧形安定問題（座屈問題）を扱い、曲率面内に等曲げを受け両端で単純支持されている薄肉二軸対称断面円弧部材の横倒れ座屈問題を例題として解き、既往の研究結果<sup>2)</sup>と比較した。

## 2. 変位場・ひずみ場

全変位ベクトル $\bar{v}$ を平面的変位ベクトル $\bar{v} + \tilde{v}$ とそりに伴う変位ベクトル $w$ に分け<sup>3)</sup>、さらに、変形前の基底ベクトル方向に変位成分を分け<sup>4)</sup>

$$\bar{v} = \bar{v} + \tilde{v} + w = w\hat{e}_1 + u\hat{e}_2 + v\hat{e}_3 \quad (1)$$

とおけば、薄肉直線部材の解析で使用されている仮定<sup>4)</sup>を基礎に、変位成分はそれを

$$w = v^1 - y_2 l_2 - y_3 l_3 - \omega l_\theta, \quad u = v^2 - y_2 A_2 - y_3 A_3 - \omega A_\theta, \quad v = v^3 + y_2 B_2 - y_3 B_3 - \omega B_\theta \quad (2a-c)$$

とかけろ<sup>5)</sup>。ここに、 $v^1, v^2, v^3$ は部材軸上の点の $\hat{e}_1, \hat{e}_2, \hat{e}_3$ 方向の変位であり、そり関数 $\omega$ は開区間と閉区間に對し、

$$\omega = \frac{h_s}{\sqrt{g}} \theta^3 + \sqrt{g} \int_{\theta_{*}}^{\theta^2} \frac{h_n}{g} d\theta^2 : \text{開区間} \quad ; \quad \omega = \frac{h_s}{\sqrt{g}} \theta^3 + \sqrt{g} \int_{\theta_{*}}^{\theta^2} \left\{ \frac{h_n}{g} - \frac{\int h_n d\theta^2}{\int \frac{1}{g} d\theta^2} \cdot \frac{1}{\sqrt{g}} \right\} d\theta^2 : \text{閉区間} \quad (3a, b)$$

と表わせ、 $l_2 = \cos \theta v^2 l_1 + \sin \theta v^3 l_1, \quad l_3 = \cos \theta v^3 l_1 - \sin \theta v^2 l_1, \quad (4a, b)$

$$l_\theta = l_{\theta,1} + \frac{1}{2} (v^2)_{,1} l_2 + \frac{1}{2} (v^3)_{,1} l_3 - \frac{1}{2} (v^3)_{,2} l_2 - \frac{1}{2} v^2 l_1 [(v^2)_{,2}^2 + (v^3)_{,2}^2] + X_2 v^2 l_2 + X_3 v^3 l_2, \quad (4c)$$

$$A_2 = 1 - \cos \theta + \frac{1}{2} v^2 l_1 l_2, \quad A_3 = \sin \theta + \frac{1}{2} v^3 l_1 l_3, \quad A_\theta = v^2 l_1 l_\theta, \quad (4d-f)$$

$$B_2 = \sin \theta - \frac{1}{2} v^3 l_1 l_2, \quad B_3 = 1 - \cos \theta + \frac{1}{2} v^2 l_1 l_3, \quad B_\theta = v^3 l_1 l_\theta \quad (4g-i)$$

である。ただし、繊維は変微分を示し、 $X_1$ ：初期ねじれ率、 $X_2, X_3$ ：初期曲率、 $t$ ：板厚、 $(\cdot)_{,1} = \partial(\cdot)/\partial \theta^1$ 、

$$h_s = \dot{y}_2 \ddot{y}_{2,2} + \dot{y}_3 \ddot{y}_{3,2}, \quad h_n = \dot{y}_2 \ddot{y}_{3,2} - \dot{y}_3 \ddot{y}_{2,2}, \quad l_3 = 1 + X_2 \dot{y}_3 - X_3 \dot{y}_2, \quad \sqrt{g} = 1 + X_2 y_3 - X_3 y_2 \quad (5a-d)$$

である。

ひずみテンソルは、局所デカルト座標系( $z_1, z_2, z_3$ )を用い、3次以上の高次微小項を無視すれば、

$$\varepsilon_{11} = \frac{1}{\sqrt{g}} (l_{1\theta} - y_2 \Omega_{\theta u} - y_3 \Omega_{\theta v} - \omega \Omega_{\theta \theta} + H l_{\theta}), \quad 2\varepsilon_{12} = -\frac{\Omega_{\theta}}{\sqrt{g} \sqrt{g}} l_{\theta}, \quad \varepsilon_{13} = \varepsilon_{22} = \varepsilon_{23} = \varepsilon_{33} = 0 \quad (6a-f)$$

と表わせろ<sup>5)</sup>。ここに、

$$l_{1\theta} = v^1 l_1 + \frac{1}{2} (v^2)_{,1}^2 + \frac{1}{2} (v^3)_{,1}^2, \quad \Omega_{\theta u} = l_{2,1} - l_3 l_\theta - X_2 \sin \theta - X_3 (-\cos \theta) - X_1 l_3, \quad \Omega_{\theta v} = l_{3,1} + l_2 l_\theta - X_3 \sin \theta + X_2 (1 - \cos \theta) + X_1 l_2, \quad (7a-f)$$

$$\Omega_{\theta \theta} = l_{\theta,1} + \frac{1}{2} [(y_2)^2 + (y_3)^2 + X_2 y_2 \omega + X_3 y_3 \omega + \frac{\Omega_{\theta}}{\sqrt{g}} (y_2 \dot{y}_{3,2} - y_3 \dot{y}_{2,2})] - \omega_{,1}, \quad H = \frac{1}{\sqrt{g}} [(y_2 + X_2 \omega)^2 + (y_3 + X_3 \omega)^2],$$

$$\Omega_{\theta} = \theta^3 (z + \frac{X_2 \dot{y}_{2,2} + X_3 \dot{y}_{3,2}}{\sqrt{g}} \cdot \theta^3) : \text{開区間} \quad ; \quad \Omega_{\theta} = \theta^3 (z + \frac{X_2 \dot{y}_{2,2} + X_3 \dot{y}_{3,2}}{\sqrt{g}} \cdot \theta^3) - \frac{\int h_n d\theta^2}{\int \frac{1}{g} d\theta^2} \cdot \frac{g}{\sqrt{g}} \cdot \frac{1}{t} : \text{閉区間} \quad (7a-i)$$

である。

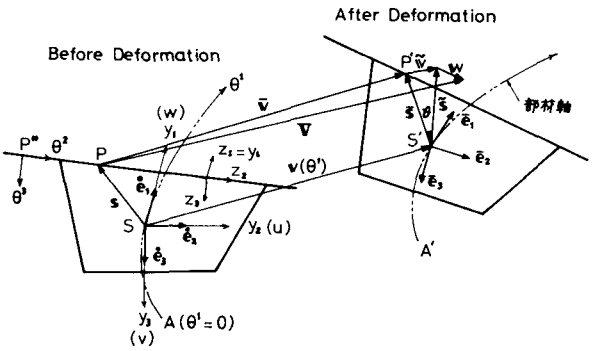


図-1 座標系・基底ハーフトル・変位ハーフトル

### 3. フリ合式と境界条件

部材両端における外力の  $\dot{e}_1$ ,  $\dot{e}_2$ ,  $\dot{e}_3$  方向の成分を  $\bar{P}_1$ ,  $\bar{P}_2$ ,  $\bar{P}_3$  とし, 分布外力の  $\dot{e}_1$ ,  $\dot{e}_2$ ,  $\dot{e}_3$  方向の成分を  $P_1$ ,  $P_2$ ,  $P_3$  とすれば, 仮想仕事の原理は次のようにかけられる。<sup>5)</sup>

$$\iiint_V (\sigma^{11} \delta \varepsilon_{11} + 2\sigma^{12} \delta \varepsilon_{12}) \sqrt{g} d\theta^1 d\theta^2 d\theta^3 - \iiint_V (P_1 \delta w + P_2 \delta u + P_3 \delta v) \sqrt{g} d\theta^1 d\theta^2 d\theta^3 - \left[ \iint_A (\bar{P}_1 \delta w + \bar{P}_2 \delta u + \bar{P}_3 \delta v) d\theta^1 d\theta^2 \right]_{\theta^1=\theta^1_s}^{\theta^1=\theta^1_e} = 0 \quad (8)$$

ここに,  $\sigma^{11}$  と  $\sigma^{12}$  は局所テカルト座標系( $z_1$ ,  $z_2$ ,  $z_3$ )における応力テンソルである。変分原理より, フリ合式は,

$$\begin{aligned} \delta V^1 : N_{,1} - N(X_3 V^3_{,1} - X_2 V^2_{,1}) + (M_{3,1} + X_1 M_2 + M_2 E_p) X_3 \cos \vartheta - X_2 \sin \vartheta + (M_{2,1} - X_1 M_3 - M_3 E_p) (X_2 \cos \vartheta + X_3 \sin \vartheta) \\ + \frac{1}{2} X_3 [M_1 V^3_{,1}]_{,1} + \frac{1}{2} X_3 M_1 (V^3_{,1})_{,1} + \frac{1}{2} X_2 [M_1 V^2_{,1}]_{,1} + \frac{1}{2} X_2 M_1 (V^2_{,1})_{,1} + X_1 M_1 (X_3 V^2_{,1} - X_2 V^3_{,1}) + N^* \\ + M_3^* (X_3 \cos \vartheta - X_2 \sin \vartheta) + M_2^* (X_2 \cos \vartheta + X_3 \sin \vartheta) = 0, \end{aligned} \quad (9a)$$

$$\begin{aligned} \delta V^2 : -X_3 N - [N V^3_{,1}]_{,1} + X_1 N V^3_{,1} + [M_3 \cos \vartheta + M_2 \sin \vartheta]_{,11} + [X_1 (M_2 \cos \vartheta - M_3 \sin \vartheta)]_{,11} + X_2 [M_2 \cos \vartheta - M_3 \sin \vartheta]_{,1} \\ - (X_1)^2 (M_2 \cos \vartheta + M_3 \sin \vartheta) + [X_2 (M_2 E_p + M_3 E_p)]_{,1} - X_1 X_3 (M_2 E_p + M_3 E_p) - [X_2 M_3]_{,1} + X_1 X_3 M_1 + \frac{1}{2} [M_1 V^3_{,1}]_{,11} \\ + \frac{1}{2} [M_1 (V^3_{,1})_{,1}]_{,1} + [X_1 M_1 V^2_{,1}]_{,1} + \frac{1}{2} X_1 [M_1 V^2_{,1}]_{,1} + \frac{1}{2} M_1 (V^2_{,1})_{,1} + (X_1)^2 M_1 V^2_{,1} + [M_3^* \cos \vartheta + M_2^* \sin \vartheta]_{,1} \\ + X_1 (M_2^* \cos \vartheta - M_3^* \sin \vartheta) - [X_2 H_{\omega}^*]_{,1} + X_1 X_3 H_{\omega}^* - Q_2^* = 0, \end{aligned} \quad (9b)$$

$$\begin{aligned} \delta V^3 : X_2 N - X_1 N V^2_{,1} - [N V^2_{,1}]_{,1} - [M_2 \cos \vartheta - M_3 \sin \vartheta]_{,11} + [X_1 (M_3 \cos \vartheta + M_2 \sin \vartheta)]_{,1} + X_1 [M_3 \cos \vartheta + M_2 \sin \vartheta]_{,1} \\ + (X_1)^2 (M_2 \cos \vartheta - M_3 \sin \vartheta) + [X_3 (M_2 E_p + M_3 E_p)]_{,1} + X_1 X_2 (M_2 E_p + M_3 E_p) - [X_3 M_1]_{,1} - X_1 X_2 M_1 + \frac{1}{2} [M_1 V^2_{,1}]_{,11} \\ - \frac{1}{2} [M_1 (V^2_{,1})_{,1}]_{,1} + [X_1 M_1 V^3_{,1}]_{,1} + \frac{1}{2} X_1 [M_1 V^3_{,1}]_{,1} + \frac{1}{2} X_1 M_1 (V^3_{,1})_{,1} - (X_1)^2 M_1 V^3_{,1} - [M_2^* \cos \vartheta - M_3^* \sin \vartheta]_{,1} \\ + X_1 (M_3^* \cos \vartheta + M_2^* \sin \vartheta) - [X_3 H_{\omega}^*]_{,1} - X_1 X_2 H_{\omega}^* - Q_2^* = 0, \end{aligned} \quad (9c)$$

$$\delta \theta : -M_3 (X_2 \cos \vartheta + X_3 \sin \vartheta) + M_2 (X_3 \cos \vartheta - X_2 \sin \vartheta) - M_{1,1} + M_3 [(V^3_{,1})_{,1} \cos \vartheta - (V^2_{,1})_{,1} \sin \vartheta] + M_2 [(V^2_{,1})_{,1} \cos \vartheta + (V^3_{,1})_{,1} \sin \vartheta] \\ + X_1 (M_2 E_p - M_3 E_p) - H_{\omega,1}^* - M_3^* (V^3_{,1} \cos \vartheta - V^2_{,1} \sin \vartheta) - M_2^* (V^2_{,1} \cos \vartheta + V^3_{,1} \sin \vartheta) - m_{\theta}^* = 0 \quad (9d)$$

となる。ここに,  $M_1 = H_{\omega,1} + Z + T + M_p E_p$  であり,  $(\cdot)^*$  は外力に関する項を示している。<sup>5)</sup>

### 4. 薄肉平面円弧部材の横倒れ座屈 ( $X_1 = X_3 = 0$ , $X_2 = \text{const.}$ )

曲率面内( $y_1 y_3$  面内)に荷重を受け, その面内にのみ変位する部材を考える。この条件のもとでは, 次式が成立する。

$$V^2 = \vartheta = 0, \quad M_1 = M_3 = 0, \quad V^1 \neq 0, \quad V^3 \neq 0, \quad M_2 \neq 0, \quad N \neq 0 \quad (10a-h)$$

分歧形安定問題(座屈問題)の支配方程式は, 増分理論を用いて求めることができる,<sup>6)</sup> 本報告の横倒れ座屈問題に増分理論を適用すれば, 横倒れ座屈の支配方程式は, 式(10)を考慮して,

$$-[N \Delta V^2_{,1}]_{,1} + [\Delta M_3 + M_2 \Delta \vartheta]_{,11} + [X_2 (M_2 \Delta E_p + M_3 E_p)]_{,1} - [X_2 \Delta M_1]_{,1} + \frac{1}{2} [\Delta M_1 (V^3_{,1})_{,1}]_{,1} + [M_2^* \Delta \vartheta]_{,1} = 0, \quad (11a)$$

$$-X_2 (\Delta M_3 + M_2 \Delta \vartheta) - \Delta M_{1,1} + (\Delta M_3 + M_2 \Delta \vartheta) (V^3_{,1})_{,1} + M_2 \Delta (V^2_{,1})_{,1} - M_2^* (\Delta V^2_{,1} + V^3_{,1} \Delta \vartheta) = 0 \quad (11b)$$

とかける。ここに,  $\Delta(\cdot)$  は微小増分量を示す。

横倒れ座屈に対する支配方程式の妥当性を確かめるために, 部材の両端で等曲げ  $M_2^*$  のみを受けている両端単純支持の二軸対称断面円弧部材を考える。この条件のもとでは, 式(10)において

$$M_2 = \bar{M}_2^* = -EI_2 (V^3_{,1})_{,1}, \quad N = 0 \quad (12a-c)$$

とおける。1次かつて, 式(11)を  $\Delta E_p$  について整理すれば, 横倒れ座屈の支配方程式は

$$-EI_{\omega} \Delta E_p,111 - GJ_t \Delta E_p,11 + [X_2 + \frac{\bar{M}_2^*}{EI_2} - \frac{\bar{M}_2^*}{EI_3}] [\bar{M}_2^* \Delta E_p + (EI_{\omega} \Delta E_p,11 - GJ_t \Delta E_p)(X_2 + \frac{\bar{M}_2^*}{EI_2})] = 0 \quad (13)$$

となり, この式の固有値として, 横倒れ座屈モードメント

$$\bar{M}_2^* = \frac{-X_2 (1 - \frac{2\beta}{EI_2} + \frac{\beta}{EI_3}) \pm \sqrt{(X_2)^2 (1 - \frac{2\beta}{EI_2} + \frac{\beta}{EI_3})^2 - 4\beta [\lambda^2 - (X_2)^2] (1 - \frac{\beta}{EI_2})(\frac{1}{EI_2} - \frac{1}{EI_3})}}{2(1 - \frac{\beta}{EI_2})(\frac{1}{EI_2} - \frac{1}{EI_3})} \quad (14)$$

が求まる。ここに,  $\beta = EI\lambda^2 + GJ_t$ ,  $\lambda = n\pi/l$  ( $n$ : 正の整数,  $l$ : 部材軸に沿った円弧の長さ) である。

式(14)は文献<sup>2)</sup>のフリ合式により求められた座屈値と一致しており, 座屈前変位の影響をも含んでいる。

**参考文献** 1) 依田・平嶋・井浦: 第33回土木学会年次学術講演会, 1978. 2) Vacharajitiphan & Trahair: Proc. ASCE, Vol. 101, ST6, 1975.

3) Schröder: Ingenieur-Archiv, Band 39, 1970.

5) 依田・平嶋・井浦: 第28回応用力学連合講演会, 1978.

4) 西野・倉方・長谷川 奥村: 土木学会論文報告集, No. 225, 1974.

6) 薄木: 土木学会論文報告集, No. 263, 1977.